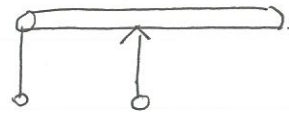


(1) 電路符號及電動勢 (electromotive force, 簡稱 emf, 用 \mathcal{E} 表示)

電阻: $\text{---} \square \text{---}$, 可變電阻: $\text{---} \square \nearrow \text{---}$ (variable R), 如以導線
的長度變化, $\therefore R = \rho \frac{L}{A} \Rightarrow$



電容: $\text{---} \parallel \text{---}$, 可變電容: $\text{---} \parallel \nearrow \text{---}$

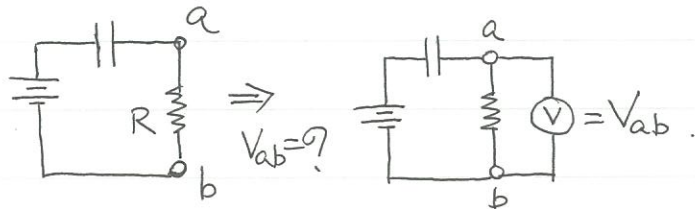
$\text{---} \parallel \text{---}$ $C = \frac{\epsilon_0 A}{d}$ changing A 達到 variable.

$\text{---} \circ \text{---}$: switch

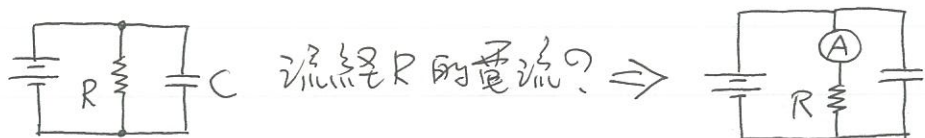
$\text{---} \perp \text{---}$: Ground, 接地點, 電路中電位的參考點 (電位差的參考點)

$\text{---} \cup \text{---}$ = fuse (保險絲)

Voltmeter (伏特計): $\text{---} \text{V} \text{---}$, 用於測量電路中兩點間
的電位差 (即電壓), \therefore 與「兩點間」並聯。

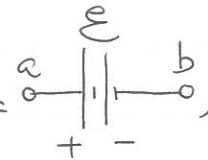


Ammeter (安培計): $\text{---} \text{A} \text{---}$, 用於測量電路中流動的電流
, \therefore 與電路串聯使用。

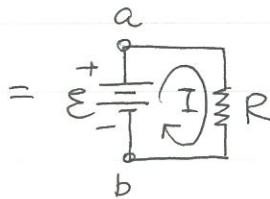


emf: converts 電能以外的能量 into 電能 by separating 正、負電荷
以維持一個固定的電壓 ΔV .

$\therefore [emf] = V \text{ (volt)}$

最常見的 emf source 為電池, 電路符號: , 用 $\mathcal{E} \text{ (V)}$ 標示大小。

在 a, b 兩個端點維持固定的電壓 \mathcal{E} , Note, a 點位的電位 $>$ b 點位. (\because 正電荷在 a 點位).

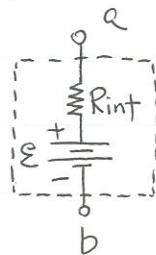


單位時間內, ΔQ 經過 R 後
降低 \mathcal{E} 的電位

$\therefore V_a - IR = V_b \quad \therefore V_a - V_b = IR = \mathcal{E}$


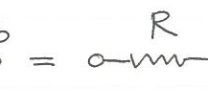
An ideal emf 沒有內電阻。

Real emf 則有內電阻, \therefore terminal voltage ($=V_{ab}$) \neq 標示電壓。

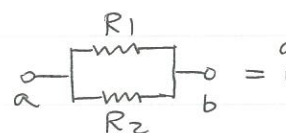
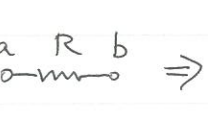


$\Rightarrow V_{ab} < \mathcal{E}$, 能提供的 max $I = \frac{\mathcal{E}}{R_{int}}$
 $R_{int} =$ 內電阻。

(2) R 的串、並聯

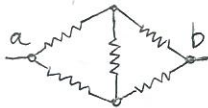

串聯:  $=$  $\Rightarrow R = R_1 + R_2$

$R = \sum_i R_i, R > R_i$

並聯:  $=$  $\Rightarrow \frac{1}{R} = \frac{1}{R_1} + \frac{1}{R_2}$

$\frac{1}{R} = \sum_i \frac{1}{R_i}, R < R_i$



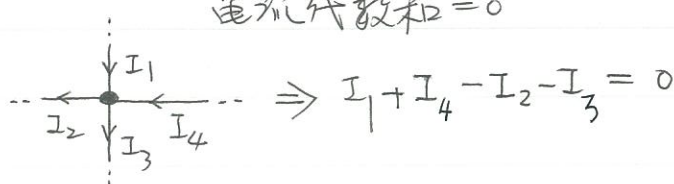
但並非都是如此單純, e.g.  =  $R = 0$
(problem 25.67)

⇒ 電路分析.

(3) 電路分析 = kirchhoff laws

(i) 電荷守恆: node (結點) rule ⇒ $\sum I_i = 0$. (node?)

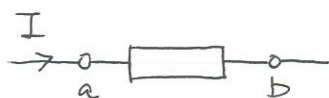
進入 +5 系閉電路中某一 node 的
電流代數和 = 0



(ii) 能量守恆: loop rule (迴路規則) ⇒ $\sum \Delta V_i = 0$

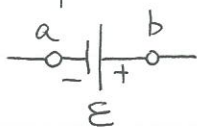
在一封閉迴路上, 所經過之電位變化的代數和 = 0

$\Delta V_i = i$ -th 電位的變化 (change in potential):



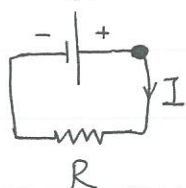
loop 方向 沿著 I 流動方向經過被動 (passive) 元件, 如 R, C, L (電感)

則電位下降: $V_a > V_b$, 反 I 方向, 則電位升高。



經過 emf, ∴ $V_b > V_a$, $V_b - V_a = \mathcal{E}$, ∴ loop 方向由 $a \rightarrow b$, 則
電位升高, 反之由 $b \rightarrow a$ 則降低, 與 I 方向無關。

e.g.



先賦於 I 的方向,

$$\left. \begin{aligned} \text{For 順時針 loop: } -IR + \mathcal{E} &= 0 \\ \text{For 逆時針 loop: } -\mathcal{E} + IR &= 0 \end{aligned} \right\} I = \frac{\mathcal{E}}{R}$$

⇒ Example 25.4 此處最上圖之 R. 

(4) RC 電路: 充電及放電

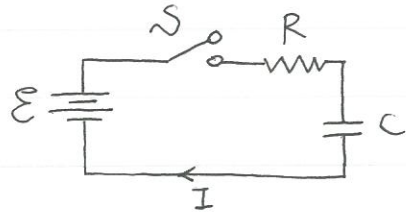
Energy is stored on C, ∴ C 接上 ε, 會瞬間充電 (charging) = 正負電荷累積在 C 上, 充電完成的 C 如接通, 則瞬間放電 (discharging), 發出火花, 正負電荷瞬間中和。

But C 接上 R 時, 則充、放電不會瞬間發生 ⇒ 電路上的 I 與時間的關係?

o Charging

起始條件 (t=0): C 上沒有 charge,

and at t=0, S closes, 此時的 $\mathcal{E} = I_0 \cdot R$. (I₀? , I → I?)



As t ↑, C 上逐漸累積 charge → C 就有電位差 V_C.

∴ { C 上的 charge 由 0 → Q₀ (max), ∴ $\frac{dQ}{dt} > 0$ } Q(t) = ?
 { C 上的電位差 V_C (= Q/C) 由 0 → Q₀/C (max.) }

$$1 - e^{-1} \approx \frac{2}{3}$$

$$e^{-1} \approx \frac{1}{3}$$

loop rule = $\mathcal{E} = V_R + V_C = IR + \frac{Q}{C}$ at time t

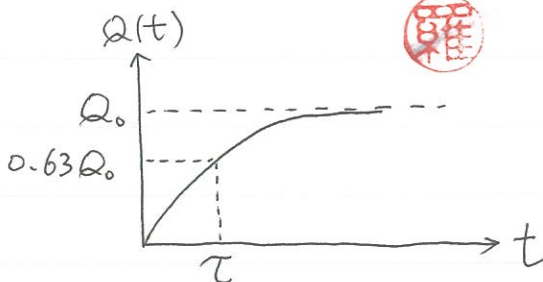
$$= R \frac{dQ}{dt} + \frac{Q}{C} \Rightarrow \text{變數分離 + 積分}$$

$$\therefore \frac{dQ}{C\mathcal{E} - Q} = \frac{dt}{RC} \Rightarrow \frac{t}{RC} + \text{積分常數} = \int \frac{dQ}{C\mathcal{E} - Q} = -\ln(C\mathcal{E} - Q)$$

由起始條件決定積分常數: at t=0, Q=0, ∴ 積分常數 = $-\ln(C\mathcal{E})$

$$\therefore \ln\left(\frac{C\mathcal{E} - Q}{C\mathcal{E}}\right) = -\frac{t}{RC} \Rightarrow Q(t) = C\mathcal{E}(1 - e^{-t/RC})$$

$$= Q_0(1 - e^{-t/RC})$$



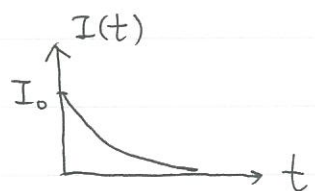
充電速度的描述量 τ:

When t = τ = RC (time constant)

$$Q = Q_0(1 - e^{-1}) = 0.63 Q_0 \approx \frac{2}{3} Q_0$$

$$I(t) = \frac{dQ}{dt} = \frac{Q_0}{RC} e^{-t/RC} = \frac{\mathcal{E}}{R} e^{-t/RC} \equiv I_0 e^{-t/RC}$$

as t → ∞ I(t) → 0: 断路



$$V_C(t) = \mathcal{E} - V_R = \mathcal{E} - IR = \mathcal{E}(1 - e^{-t/RC}) \Rightarrow V_C(t) \text{ 與 } Q_C(t) \text{ 的行為相同.}$$

[or $V_C(t) = \frac{1}{C} Q(t)$]

o Discharging

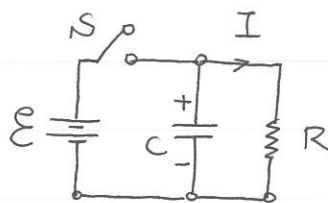
起始條件: S 關閉於 $t < 0$, \therefore

C 充電完全, 此時 C+R 兩端的

電位差 = \mathcal{E} , 在 C 上的 charge $Q_0 = C\mathcal{E}$ (max).

在 $t=0$ 時, S open, 則 C 開始放電產生 I.

check: C 的電荷由 max. $Q_0 \rightarrow 0$, $\therefore I = -\frac{dQ}{dt}$ (> 0 , 配合方向)



loop rule: $V_C = IR = \frac{Q}{C}$, where Q is the charge on C.

$$\therefore \frac{Q}{C} - IR = \frac{Q}{C} + R \frac{dQ}{dt} = 0 \quad (\text{note: } I = -\frac{dQ}{dt})$$

變數分離 + 積分: $\frac{dQ}{Q} = -\frac{dt}{RC} \Rightarrow \ln Q = -\frac{t}{RC} + k$ (積分常數)

at $t=0$, $Q=Q_0$, $\therefore k = \ln Q_0$.

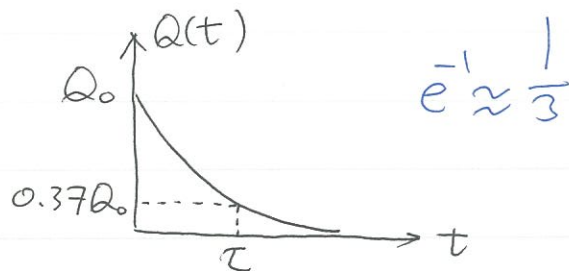
$$\Rightarrow \ln Q - \ln Q_0 = -\frac{t}{RC}, \quad \therefore Q(t) = Q_0 e^{-t/RC}$$

描述衰減快慢的參數:

$\tau = RC = \text{time constant}$

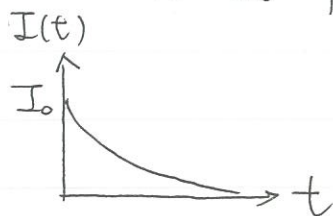
when $t = \tau = RC$,

$$Q = Q_0 e^{-1} = 0.37 Q_0 \approx \frac{1}{3} Q_0$$



$$I(t) = -\frac{dQ}{dt} = \frac{Q_0}{RC} e^{-t/RC} \equiv I_0 e^{-t/RC}$$

where $I_0 = \frac{Q_0}{RC} = \frac{Q_0}{R \cdot Q_0/\mathcal{E}} = \frac{\mathcal{E}}{R} = I(t=0)$



as $t \rightarrow \infty$, $I(t) \rightarrow 0 = \text{斷路}$.

$$V_C(t) = \frac{Q(t)}{C} = \frac{Q_0}{C} e^{-t/RC} = \mathcal{E} e^{-t/RC} \sim Q(t)$$



RC 電路的短時 (short-term) 及長時 (long-term) 行為

	I	V _C	Circuit	short	long
Charging	$\frac{\mathcal{E}}{R} e^{-t/RC}$	$\mathcal{E}(1 - e^{-t/RC})$		C 是通路	C ~ 斷路
Discharging	$\frac{V_0}{R} e^{-t/RC}$	$V_0 e^{-t/RC}$		C 是通路	C ~ 斷路

$$e^{-x} = 1 - x + \frac{x^2}{2!} - \frac{x^3}{3!} + \dots$$

$$\Rightarrow \text{for } x \ll 1, e^{-x} \sim 1 \quad (t/RC \ll 1 \sim \text{short-term})$$

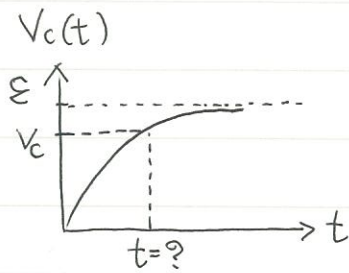
$$\Rightarrow \text{for } x \gg 1, e^{-x} \sim 0 \quad (t/RC \gg 1 \sim \text{long-term})$$

In times much shorter than $\tau = RC$, V_C cannot change instantaneously.
After many time constants, no I is flowing to C.



Example 25.5

相機的 flash 由 150- μ F 的 C 提供 energy, 在 $V_C \geq 170V$ 才能 work. 若 150- μ F 的 C 由一個 200-V 的電池串聯 $R = 18k\Omega$ 所充電, 則 flash 間的 $\Delta t = ?$



$$V_C = \mathcal{E}(1 - e^{-t/RC}), \text{ where } \mathcal{E} = 200 \text{ V.}$$

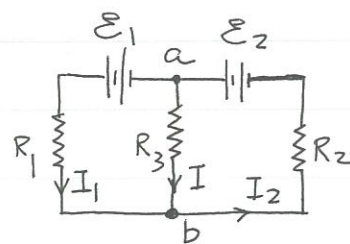
$$\text{When } V_C = 170 \text{ V 時, } t = ?$$

$$t = 5.1 \text{ s with } C = 150 \times 10^{-6} \text{ F, } R = 1.8 \times 10^4 \Omega$$

Example 25.4

如右圖, $R_1=2\Omega, R_2=4\Omega, R_3=1\Omega,$

$\mathcal{E}_1=6V, \mathcal{E}_2=9V,$ 則流過 R_3 的 $I=?$



(note, \mathcal{E}_2 方向+5課本相反)

先標了, I_1, I_2 及 I, I 的方向可任意。

node rule: $I = I_2 - I_1$

left loop + 逆時針 (使通過 \mathcal{E}_1 為正): $\mathcal{E}_1 - I_1 R_1 + (I_2 - I_1) R_3 = 0$ — ①

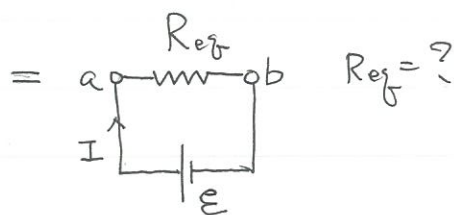
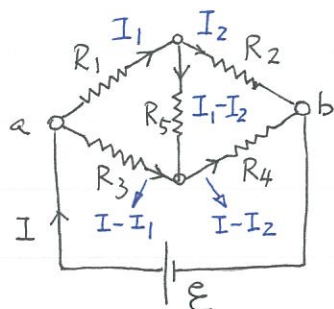
right loop + 逆時針: $\mathcal{E}_2 - (I_2 - I_1) R_3 - I_2 R_2 = 0$ — ②

①、② 代入 R_i 及 \mathcal{E}_i 數值 $\Rightarrow I_1 = \frac{39}{14} A, I_2 = \frac{33}{14} A$

$\therefore I = I_2 - I_1 = -\frac{3}{7} A \Rightarrow$ 負號的意義: I 的方向為 $b \rightarrow a$.

(How about big loop?)

Problem 25.67 (Figure 25.12 $\Rightarrow R_1=R_2=R_4=R_5$)



$R_{eq} = \mathcal{E}/I$ 。利用 node rule 標了, 如圖流經 R_i 的電流。

$$\left. \begin{aligned} \text{left loop} + \text{順時針} &: -I_1 R_1 - (I_1 - I_2) R_5 + (I - I_1) R_3 = 0 \\ \text{right loop} + \text{順時針} &: -I_2 R_2 + (I - I_2) R_4 + (I_1 - I_2) R_5 = 0 \end{aligned} \right\} \Rightarrow \begin{aligned} I_1 &= \alpha I \\ I_2 &= \beta I \end{aligned}$$

Big loop: $\mathcal{E} - I_1 R_1 - I_2 R_2 = 0 \Rightarrow \frac{\mathcal{E}}{I} = \alpha R_1 + \beta R_2 = R_{eq}$.

In Problem 25.67 ^(c) 上圖的 $R_1=R_2=R_3=R_4$ and $R_5 \rightarrow R_2$

則 $\alpha = \beta = \frac{1}{2}$ (用 R_1 表示)

$\therefore R_{eq} = \frac{1}{2} R_1 + \frac{1}{2} R_1 = R_1$.



(1) \vec{B}

o Magnet + magnet or 其他物質如 iron (Fe) 施加作用力—超距力, like \vec{E} , 用磁場 (以 \vec{B} 表示) 描述這樣的交互作用。

\Rightarrow \vec{B} lines 如 Fe filings 所呈現 (Fig. 26.1)

跟 \vec{E} 一樣, \vec{B} 與電荷有密切關連:

charges $\rightarrow \vec{E}$

also charges $\rightarrow \vec{B}$

唯一的差別在於「運動的 charges 產生 \vec{B} 」 \Leftrightarrow

\vec{B} 的 source 為運動的 charges.

(靜止或運動的 charges 都產生 \vec{E})

o \vec{B} force 及 \vec{B} field

$\sim \vec{E}$ 的作法: $\vec{F}_E = q\vec{E}$, q 為測試電荷.

在沒有 \vec{E} , 只有 \vec{B} 的 space, 觀察 q 所受之作用力 $\vec{F}_B =$

(i) q 靜止, $\vec{F}_B = 0$

(ii) $\vec{F}_B \perp \vec{v}$ (q 的 velocity) and $\vec{F}_B \perp \vec{B}$

(iii) $F_B \propto q$, $F_B \propto v$, $F_B \propto B$

(iv) Max F_B occurs at $\vec{v} \perp \vec{B}$, $F_B = 0$ when $\vec{v} \parallel \vec{B}$

$$\Rightarrow \vec{F}_B = q \vec{v} \times \vec{B}$$

$\therefore [B] = \frac{N}{C} \cdot \frac{s}{m} = \text{tesla}$ (用 T 表示), 另一常用單位 gauss

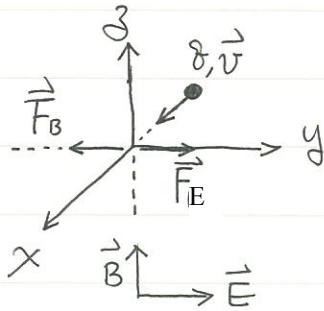
(用 G 表示), $1 T = 10^4 G$.

地球的 $B \approx 1 G$.



When $(\vec{E} + \vec{B})$ exist, q 所受的電磁力 $\vec{F} = q\vec{E} + q\vec{v} \times \vec{B}$.

$\therefore F_B$ depends on \vec{v} , but F_E 與 \vec{v} 無關, \therefore 可用 $(\vec{E} + \vec{B})$ 作為 charged particles 的速度選擇器 (velocity selector):



Let $(\vec{B} + \vec{E})$ 在 y - z plane 上, $\vec{B} \parallel \hat{k}$ and $\vec{E} \parallel \hat{j}$.

q 的 $\vec{v} \parallel \hat{i}$, 從 $-x$ 入射原點

$$\begin{aligned} \vec{F}_E &= q\vec{E} = qE\hat{j} \\ \vec{F}_B &= q\vec{v} \times \vec{B} = -qvB\hat{j} \end{aligned} \quad \left. \vphantom{\begin{aligned} \vec{F}_E \\ \vec{F}_B \end{aligned}} \right\} \text{方向相反}$$

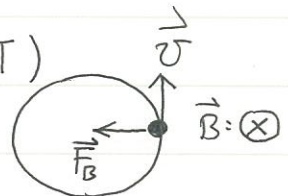
\therefore When $F_E = F_B$ i.e. $v = \frac{E}{B}$, q 才能沿 $+x$ 軸前進, 不偏離.

(2) q in \vec{B}

$\therefore \vec{F}_B = q\vec{v} \times \vec{B}$, $\therefore \vec{F}_B \perp \vec{v} \Rightarrow F_B$ 不對 q 作功, i.e., 不改變 q 的 speed, but 方向.

(i) $\vec{v} \perp \vec{B} \Rightarrow$ 2D 等速圓周運動 (重要參數 - r and T)

向心力 $F_B = qvB = m \frac{v^2}{r}$



$\therefore r = \frac{mv}{qB}$: 質譜儀 (mass spectrometer) 的原理 (Example 26.2)

$$T = \frac{2\pi r}{v} = \frac{2\pi m}{qB}$$

$$f = \frac{1}{T} = \frac{q}{m} \cdot \frac{B}{2\pi} \text{ (cyclotron freq.)}$$

$\left. \begin{aligned} &T, f \neq v \text{ 及 } r \text{ 無關.} \\ &\frac{q}{m} \text{ (荷質比) 相同的 particles} \\ &\text{在 } B \text{ 中 cyclotron freq. 一樣.} \end{aligned} \right\}$



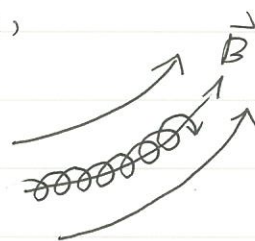
(ii) When \vec{v} 不垂直 $\vec{B} \Rightarrow \vec{v} = \vec{v}_\perp + \vec{v}_\parallel$ (垂直和平行 \vec{B} 的分量)

\vec{v}_\perp : 圓周運動
 \vec{v}_\parallel : 沿 \vec{B} 方向運動 } 沿著 \vec{B} 前進的螺旋運動 (spiral motion)

\Rightarrow charge particles 在 $(\vec{E} + \vec{B})$ 的運動軌跡: 拋物線 + 螺旋線
 — 複雜!

\therefore charged particle 被“冷凍”在 \vec{B} lines 上打轉,
 無法脫離. v_\perp 個, 打轉的圈個

\rightarrow Earth's \vec{B} lines trap 從 sun 射出的
 帶電粒子, 與大氣中的 N_2, O_2 碰撞
 產生極光.



\rightarrow nuclear fusion 的應用.

(3) \vec{F}_B on I

○ $\vec{J} = nq\vec{v}_d$, \vec{v}_d : 導線中 charge carrier 的 drift velocity.

\therefore 通電流 I 的導線受 \vec{B} 作用.

Put 一段長 l , cross section area = A , 通 I 的導線 in \vec{B} , 則

導線所受之力 $\vec{F} = n \cdot (A \cdot l) \cdot q \cdot \vec{v}_d \times \vec{B}$ ($I = n \cdot A \cdot q \cdot v_d$)

定義 \vec{l} : 大小為導線長度, 方向為 I 方向, 則

$$\vec{F} = I \vec{l} \times \vec{B}$$

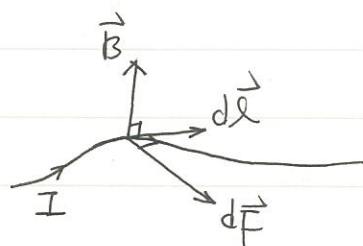
(\rightarrow 此 wire 內 charge carrier 的正、負電性無關, $\because q \cdot \vec{v}_d$ 不變!)

Note: random thermal motion of charge carriers results in zero force from \vec{B} .



若導線不是直 (i.e. \vec{l} 的方向不 uniform) 或不均勻 \vec{B} ,
則作用在無限小的 current element

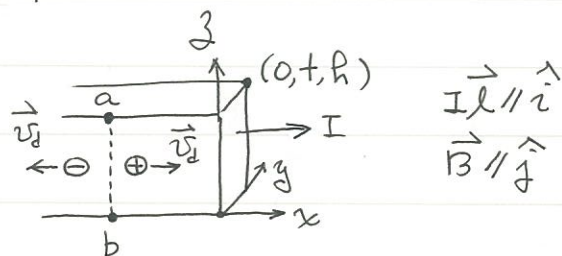
$I \cdot d\vec{l}$ 的力 $d\vec{F} = I \cdot d\vec{l} \times \vec{B}$



o The Hall effect

雖然導線所受之力 $\vec{F}_B = I \cdot \vec{l} \times \vec{B}$ 與 charge carrier 的正負電性無關，
但正負電性仍會造成差異 \Rightarrow Hall effect

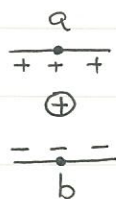
如右圖，



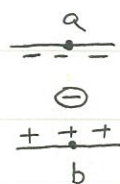
(i) if charge carriers are \oplus
 $\Rightarrow \vec{F}_B \parallel \hat{k}$, \oplus 被 \vec{F}_B 推向 a 側，

建一個電場 \vec{E} ，施加在 \oplus 的電力 $\vec{F}_E \parallel -\hat{k}$ ，直到

$F_B = F_E, \therefore V_a > V_b$



(ii) if charge carriers are \ominus ，則 \vec{F}_B 與 \vec{F}_E 的方向與 (i) 相同且
最後 $F_B = F_E$ ，但 $V_a < V_b$ 。



\therefore check a, b 間的電位差，就可得到 charge carrier 的正負電性。

$V_{ab} \equiv V_H = \text{Hall potential} = ?$

from $F_E = F_B, \therefore qE = \vec{v}_d \cdot \vec{B}$ or $E = v_d B$.

$V_H = E \cdot h = v_d B h = \frac{I B h}{n q A}$ ($\because I = n q A v_d$ and $A = h \cdot t$)

$= \frac{I B}{n q t}$

其中的 $\frac{1}{nq} = \text{Hall 係數}$ 。

\Rightarrow 由 V_H 可得 charge carrier 的 density n 及正負電性。 (羅)

(4) Origin of \vec{B}

\vec{E} 作用 charge and charge creates 電場. Source (charge $\rightarrow \vec{E}$).

How about \vec{B} ?

\vec{B} 作用 moving charge q ? \rightarrow Yes!

moving charge q produces \vec{B} ? \rightarrow from 对稱觀念, Yes.

最早的观察 (1820年, Oersted): 通电流导线偏轉周圍的 Compass.

\Rightarrow The Biot-Savart [bio-sa'zar] law:

磁场的 source 为 current element $I \cdot d\vec{l}$
在 P 點產生的磁場 $d\vec{B}$ ($\sim dq$ produces $d\vec{E}$)

$$d\vec{B} = k' \frac{I \cdot d\vec{l} \times \hat{r}}{r^2}$$

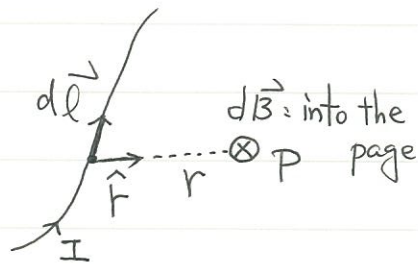
where $k' = \frac{\mu_0}{4\pi} = 10^{-7} \text{ N/A}^2$, and

$\mu_0 = 4\pi \times 10^{-7}$ (permeability constant)

類似 $d\vec{E} = k \frac{dq}{r^2} \hat{r}$, $k = \frac{1}{4\pi\epsilon_0}$.

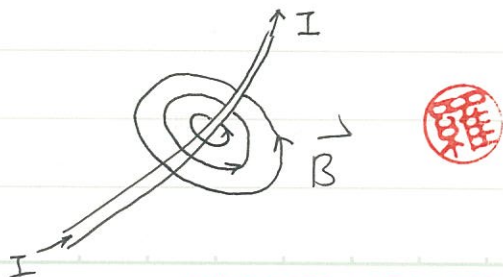
相異處: (i) $d\vec{B}$ 的 source $I \cdot d\vec{l}$ 具方向性.

(ii) dq 为独立的 point charge, 但 $I \cdot d\vec{l}$ 卻不是, $\therefore I$ 在一个电流迴路流动.



$$\therefore \vec{B} = \int d\vec{B} = k' I \int \frac{d\vec{l} \times \hat{r}}{r^2} \quad (\text{Biot-Savart law})$$

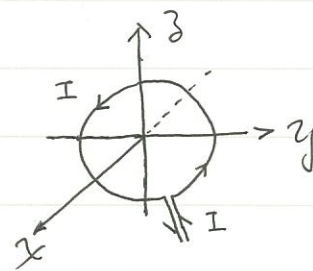
由 Biot-Savart law 可得通电流导线外的 \vec{B} field, 如右图.



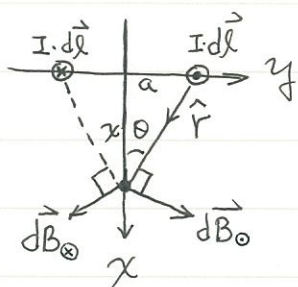
Example 26.3 A current loop's \vec{B}

Example 26.4 in 3-rd ed.

半径为 a , 电流为 I 的电流 loop
 位于 $y-z$ plane (圆心在原点, 黑白), 如右图,
 则在 x 轴上 $P(x, 0, 0)$ 处的 $\vec{B} = ?$



From Biot-Savart law: current element $I \cdot d\vec{l} \rightarrow d\vec{B} = k' \frac{I \cdot d\vec{l} \times \hat{r}}{r^2}$
 on $x-y$ plane



$\Rightarrow y$ 分量抵消, 只有 x 分量分量的磁感线.
 Similarly, on $x-z$ plane 上的 $I \cdot d\vec{l}$ 产生的 \vec{B} 也只有 x 分量.
 \Rightarrow total current loop 产生的 $\vec{B} \parallel \hat{i}$

x 分量: $dB \cdot \cos(\frac{\pi}{2} - \theta) = dB \cdot \sin\theta = dB \cdot \frac{a}{\sqrt{a^2 + x^2}}$, where
 $dB = k' \frac{I \cdot dl}{a^2 + x^2}$

$\therefore B = \int dB \cdot \sin\theta = k' I a \cdot (a^2 + x^2)^{-3/2} \int dl = k' I \cdot \frac{2\pi a^2}{(a^2 + x^2)^{3/2}}$, 方向: \hat{i}

Check: near field at $x=0$ (电流回路中心)

$B(x=0) = 2\pi k' I / a = \mu_0 I / 2a$

far field when $x \gg a$: $B(x) \cong 2k' I \cdot \pi a^2 / x^3$
 $= \frac{2k' \mu}{x^3}$, where

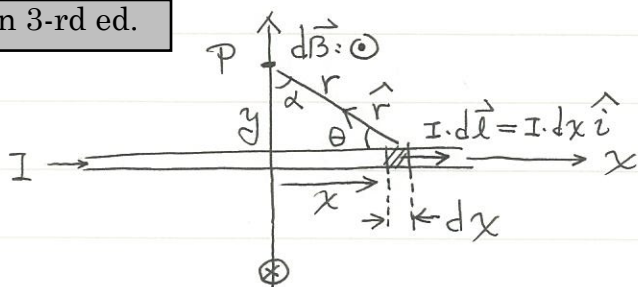
$\mu = I \cdot A$ (回路面积) $= I \cdot \pi a^2$
 $=$ magnetic dipole moment.



Example 26.4

距 I 流通的無限長直導線外 y 處的 $\vec{B} = ?$

Example 26.5 in 3-rd ed.



$$dB = \frac{k' I \cdot dx \cdot \sin(\pi - \theta)}{r^2} = k' I \frac{\sin \theta \cdot dx}{r^2}$$

$$\Rightarrow B = \int dB = k' I \int \frac{\sin \theta \cdot dx}{r^2}$$

$$= k' I \int \frac{\cos \alpha \cdot dx}{r^2} \Rightarrow \text{積分變數: } \alpha, x, r, \text{ 課本使用 } x, \text{ we try } \alpha$$

$$\Rightarrow \frac{y}{r} = \cos \alpha, \tan \alpha = \frac{x}{y}, \Rightarrow dx = y(1 + \tan^2 \alpha) d\alpha = y \sec^2 \alpha d\alpha = \frac{y}{\cos^2 \alpha} d\alpha$$

$$\Rightarrow B = k' I \int \cos \alpha \cdot y \cdot \frac{d\alpha}{\cos^2 \alpha} \cdot \frac{\cos^2 \alpha}{y^2}$$

$$= \frac{k' I}{y} \int_{-\pi/2}^{\pi/2} \cos \alpha \cdot d\alpha = \frac{2k' I}{y} = \frac{\mu_0 I}{2\pi y}$$

Note \vec{B} 在導線兩側的方向。

\Rightarrow 高度對稱的 B source, 使用 Ampere law 可輕易解出。



○ 兩通電長直導線間的磁力

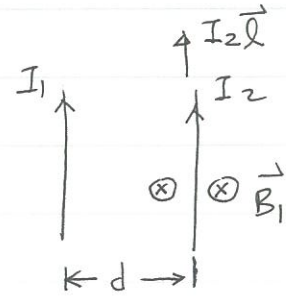
通 I , 長 l 的導線在 \vec{B} 所受之作用力

$$\vec{F} = I \vec{l} \times \vec{B}$$

二、兩條通電的長直導線間有磁力作用。

如右圖：長 l 通 I_2 的導線所受之作用力

$$\vec{F}_2 = I_2 \vec{l} \times \vec{B}_1, \text{ where } \vec{B}_1 \text{ is produced by } I_1.$$



$$\therefore B_1 = 2k'I_1/d, \text{ 方向: } \otimes \text{ (Example 26.4 的結果)}$$

$$\therefore F_2 = 2k'I_1 \cdot I_2 \cdot l/d, \text{ 方向: } \leftarrow \right.$$

$$\text{同樣 } F_1 = 2k'I_1 \cdot I_2 \cdot l/d, \text{ 方向: } \rightarrow \left. \right\} \begin{array}{l} I_1 \text{ 和 } I_2 \text{ 同方向時: 相吸} \\ \Rightarrow \text{反向則相斥.} \end{array}$$

$$\text{單位長度的作用力 } \frac{F}{l} = 2k'I_1 \cdot I_2/d = \frac{\mu_0}{2\pi} \frac{I_1 I_2}{d}$$

(5) Magnetic dipoles (磁偶極) (比較 far field 的 \vec{p} 形式)

○ In Example 26.3: 一個電流 loop 在 far field 的

$$B \approx 2k' \cdot (IA)/x^3, \text{ where } A = \pi a^2 = \text{loop's area. } \left(\vec{B} // \vec{i} \text{ 若 } I \text{ 順時針} \right)$$



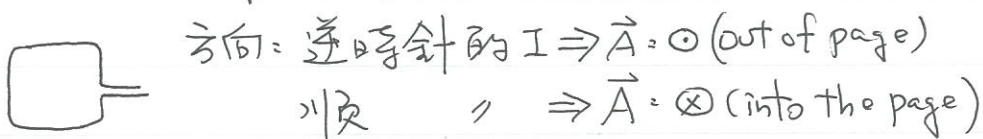
#5 electric dipole 在軸上產生的 far field $\vec{E} \approx 2k' \vec{p}/x^3$ 比較。

\Rightarrow (i) current loop is a magnetic dipole

(ii) magnetic dipole moment $\vec{\mu} \equiv IA$

(iii) $\vec{\mu}$ 的方向由 (I 流動的方向 + 右手定則) 決定: $\vec{\mu} = I \vec{A}$
(cf: $I \cdot \vec{Q}$)

\vec{A} : $|\vec{A}| = \text{loop (不一定是圓) 的面積}$



For N-turn current loop: $\vec{\mu} = N I \vec{A}$ 羅

Note:

→ 電流 loop 可為任意形狀。

→ far field 下, 其他位置有相同形式 (不一定在軸上)。

\vec{u} 與 \vec{p} 的異同: ① 在 far field, 力線形狀相似且數學形式亦相似。

② \vec{p} 由靜電荷構成, \vec{u} 由 moving 電荷形成: 近場形式不同。

參考 Figure 26.21.

地球的 \vec{B}

o dipoles vs. monopoles (磁單極)

From Figure 26.21: \oplus, \ominus point charges 可以個別獨立存在, 形成“電單極”。但 \vec{u} 由 moving charges 形成, 需要一個 loop 才能形成 \vec{u} , \therefore 沒有所謂的“磁單極” (magnetic monopoles) $\Rightarrow \vec{B}$ lines 是封閉的 loops, 不像 \vec{E} lines 可以是 open!

$\therefore \Phi_B = \oint \vec{B} \cdot d\vec{A} = 0$ (\vec{B} 的 Gauss law, EM 4 eqs 之一)

o \vec{u} vs. \vec{B}

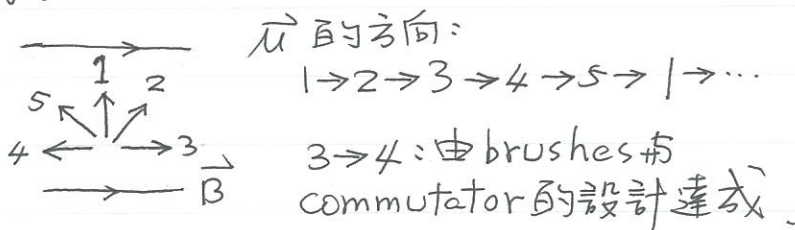
\vec{u} 就像是小磁針, like \vec{p} in \vec{E} .

\therefore when \vec{u} is in \vec{B} , \vec{B} intends to lines up \vec{u}

\Rightarrow Torque on \vec{u} is $\vec{\tau} = \vec{u} \times \vec{B}$ (Fig. 26.22)

and the potential energy is $U = -\vec{u} \cdot \vec{B}$ ($\vec{u} \perp \vec{B}$ 為參考點)

重要應用: Motors



(b) 磁性物質

magnetic matter 為 moving charges 的表現

→ 原子結構: e^- 運動形成的 $\vec{\mu}_L$ 及內在的固有的 $\vec{\mu}_S$ (spin),
 $\vec{\mu}_S$ 尤其比 $\vec{\mu}_L$ 重要。

$\vec{\mu}_L$ 與 $\vec{\mu}_S$ 的交互作用決定原子的磁性。→ 物質的磁性。

o Ferromagnetism (鐵磁性)

ferromagnetic materials 如 Fe, Co, Ni 及其合金被 \vec{B} 強烈吸引。

原因: 物質內的 magnetic domains (磁田) 的 total $\vec{\mu} \parallel \vec{B}$ 。

magnetic domains: 由 $10^{17} \sim 10^{21}$ atoms 所形成, 尺寸在 $\mu\text{m} \sim \text{mm}$ 。

domain 內所有 atoms 的 $\vec{\mu}$ 指向同一方向 (QM 作用), \therefore 一個 domain 的 μ 只有一個方向。

但不同 domain 的 $\vec{\mu}$ 具有相異的方向, 呈 random 分布。在有外磁場 \vec{B} 時, 每個 domain 的 $\vec{\mu}$ 傾向於沿 \vec{B} 排列, \therefore 為 \vec{B} 所強烈吸引。

硬 (hard) 鐵磁性物質: 外磁場移除後, 仍保有強磁性, 形成永久磁。
 軟 (soft) // : , 不保有磁性。

Curie 溫度: 熱擾動破壞 domain 內原子 μ 整齊排列的溫度。

→ 鐵磁性消失, 變成順磁性 (paramagnetism)

1043 K for Fe

o Paramagnetism (順磁): 原子或分子具有永久的 $\vec{\mu}$, 但彼此不會交互作用形成 domains, 所以只為 \vec{B} 微弱吸引。

順磁性效應只在低溫時才較明顯。 (羅)

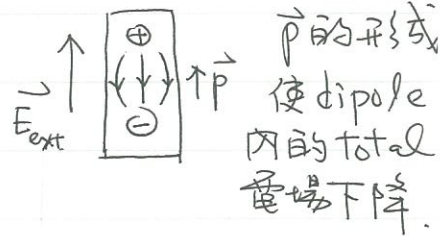
◦ Diamagnetism (抗磁性): atom 沒有永久性 $\vec{\mu}$, 但有 induced $\vec{\mu}$.
 ∴ when 外 \vec{B} changing 時 or 通過電流 loop 的 \vec{B} 產生改變時, 物質為外 \vec{B} 微弱排斥. e.g. C.

◦ Magnetic permeability and susceptibility
 When 物質置於外磁場 B_{ext} , 物質本身產生的磁場 B_M 有
 $B_M = \chi_m B_{ext}$ 關係。 $\chi_m =$ susceptibility (磁化度)

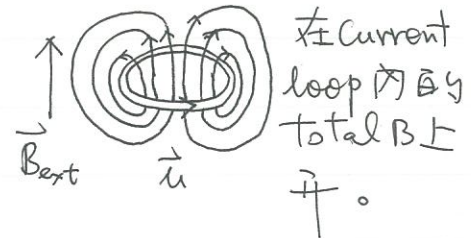
para: $\chi_m > 0$, $\sim 10^{-5}$ 為 T 的函數.

dia: $\chi_m < 0$, $\sim 10^{-5}$, 非 T 函數.

ferro: $\chi_m = 10^3 \sim 10^5$ 是 T 及 B_{ext} 函數.



⇒ 在物質內的 total $B = B_{ext} + B_M$
 $= (1 + \chi_m) B_{ext}$
 $\equiv \kappa_m B_{ext}$



$\kappa_m =$ relative permeability (導磁率)

for ferro: $\kappa_m = 10^3 \sim 10^5$

Coils for electromagnets are wound on ferromagnetic cores to provide a much stronger B than B_{ext} .



(7) Ampere law

o \vec{E} : Gauss law is useful for 高度对稱的 charge 分布

$$\Phi_E = \oint \vec{E} \cdot d\vec{A} = Q_{\text{enclosed}} / \epsilon_0$$

What for \vec{B} ?

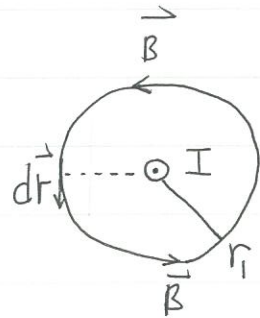
\vec{B} 的 Gauss law: $\Phi_B = \oint \vec{B} \cdot d\vec{A} = 0$ # \vec{B} 的 source - moving charges 沒有關連, \therefore 並非是 \vec{E} 's Gauss law 角色。

Check: 若直導線產生的 \vec{B} lines 為同心圓。

取半徑為 r_1 的圓周為積分路徑,
路徑上的 $d\vec{r} \parallel \vec{B}$ line,

$$\begin{aligned} \Rightarrow \oint_{r_1} \vec{B} \cdot d\vec{r} &= \oint_{r_1} B \cdot dr = \oint_{r_1} \frac{\mu_0 I}{2\pi r_1} \cdot dr \\ &= \frac{\mu_0 I}{2\pi r_1} \cdot \oint_{r_1} dr = \frac{\mu_0 I}{2\pi r_1} \cdot 2\pi r_1 = \mu_0 I \end{aligned}$$

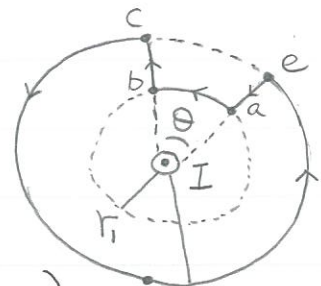
— independent of r_1



\rightarrow for 任意 r 的圓路徑 $\oint \vec{B} \cdot d\vec{r} = \mu_0 I$.

\rightarrow for 任意形狀的封閉路徑 $\oint \vec{B} \cdot d\vec{r} = \mu_0 I$
且圍住電流 I

如右圖的 $a \rightarrow b \rightarrow c \rightarrow d \rightarrow e \rightarrow a$ 封閉路徑



$$\oint \vec{B} \cdot d\vec{r} = \left(\int_{ab} + \int_{bc} + \int_{cde} + \int_{ea} \right) \vec{B} \cdot d\vec{r}$$

$$= \left(\int_{ab} + \int_{cde} \right) \vec{B} \cdot d\vec{r} \quad (\because \vec{B} \perp \overline{bc} \text{ and } \vec{B} \perp \overline{ea})$$

$$= \frac{\mu_0 I}{2\pi r_1} \int_{ab} dr + \frac{\mu_0 I}{2\pi r_2} \int_{cde} dr = \mu_0 I \left[\frac{r_1 \cdot \theta}{2\pi r_1} + \frac{r_2 (2\pi - \theta)}{2\pi r_2} \right] = \mu_0 I$$

\rightarrow 可 extend to 任意的 closed loop.



\vec{B} 亦通用 superposition principle, i.e., closed loop 所圍圈的電流導線皆可產生 \vec{B} , ...

$$\oint \vec{B} \cdot d\vec{r} = \mu_0 I_{\text{enclosed}} \quad (\text{Ampere law for steady current})$$

where I_{enclosed} 為封閉之積分路徑 (稱之為 Ampere loop ~ Gaussian surface) 所圍圈之電流。

Ampere law 為 EM 4 大 eq., 在 ch 29 對此修正, 擴大到所有電流, 不再局限於 steady current.

\vec{B} 的 Biot-Savart law ($I \cdot d\vec{l}$) ~ \vec{E} 的 Coulomb law (dq)

\vec{B} 的 Ampere law ~ \vec{E} 的 Gauss law, both are global description — \vec{E} 及 \vec{B} 在 source 結構下的行為。

o Ampere law 的應用

~ Gauss law 的應用, 差別在於 Gauss 是面積分 $\oint \vec{E} \cdot d\vec{A}$, 而

Ampere 是線 (或路徑) 積分 $\oint \vec{B} \cdot d\vec{r}$

→ source 的對稱性

→ \vec{B} lines 的方向

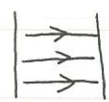
→ 適當的 Ampere loop 計算 $\oint \vec{B} \cdot d\vec{r}$, i.e., $d\vec{r} \perp \vec{B}$ or $d\vec{r} \parallel \vec{B}$

$$\text{or } \oint \vec{B} \cdot d\vec{r} = \vec{B} \cdot (\oint d\vec{r})$$

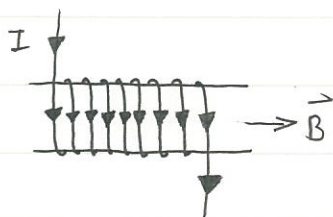


⇒ Example 26.7 and 26.8

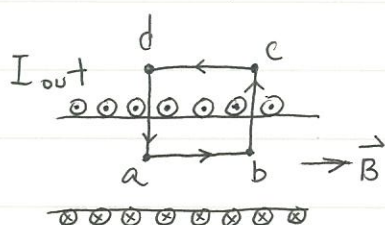
o solenoids

 uniform \vec{E} in 平行板電容器,

A uniform \vec{B} ? \Rightarrow solenoid (螺旋管) = 由通電流的導線緊密環繞而成, 管內的 B 均勻.



長度 \gg diameter and ignore 邊緣效應下
 $B = ?$



From the results of Example 26.8:
 B outside the tube is zero and is constant inside the tube.

$a \rightarrow b \rightarrow c \rightarrow d \rightarrow a$: Ampere loop

$$\begin{aligned} \oint \vec{B} \cdot d\vec{r} &= B \cdot \overline{ab} = \mu_0 I_{\text{enclosed}} \\ &= \mu_0 \cdot n \cdot \overline{ab} \cdot I \end{aligned}$$

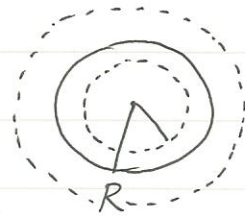
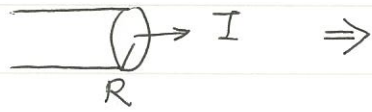
where n is the turns of wire per unit length (線圈密度)

$$\therefore B = \mu_0 n I \quad (\text{holds for 任意形狀的 cross section})$$

\rightarrow 將 solenoid 連接成圓環 (donut-shaped): toroid.



半徑 R 且通有 I 的長直導線, I 均勻分布在 wire 截面上,
 則 $B(r \leq R)$ and $B(r > R) = ?$



$I = \odot$
 \vec{B} : 逆時針同心圓.

-----: Amperian loop (半徑 = r)

如右圖, \vec{B} lines 為逆時針同心圓,

\therefore Amperian loop: 半徑 r 逆時針方向的 loop, such that $d\vec{r} \parallel \vec{B}$.

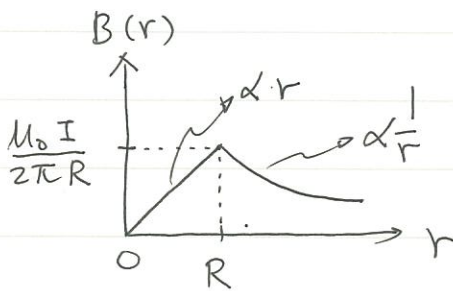
From source 的對稱分布, 在半徑 r 的圓周上, $B = \text{constant}$

$$\therefore \oint \vec{B} \cdot d\vec{r} = B \cdot \oint dr = B \cdot 2\pi r = \mu_0 I_{\text{enclosed}}$$

$$\text{for } r \leq R, I_{\text{enclosed}} = \frac{r^2}{R^2} I \Rightarrow B(r \leq R) = \frac{\mu_0 I}{2\pi R^2} r$$

$$\text{for } r > R, I_{\text{enclosed}} = I \Rightarrow B(r > R) = \frac{\mu_0 I}{2\pi r} \text{ - the same}$$

with Example 26.4.



\rightarrow Problem 26.64 where I 不均勻分布: $J(r) = \frac{J_0}{R} r$, 則

$B(r \leq R)$ and $B(r > R) = ?$ (or $J_0 = ?$)

$$\text{for } r > R, I_{\text{enclosed}} = \int_0^R J(r') \cdot dA = \int_0^R J(r') \cdot 2\pi r' \cdot dr' = \frac{2\pi}{3} J_0 R^2 (= I, \text{ the}$$

$$\text{for } r \leq R, I_{\text{enclosed}} = \int_0^r J(r') \cdot dA = \int_0^r J(r') \cdot 2\pi r' \cdot dr' \quad J_0 = \frac{3I}{2\pi R^2}$$

$$= \frac{2\pi}{3R} J_0 \cdot r^3 (= \frac{I}{R^3} r^3)$$

A current sheet

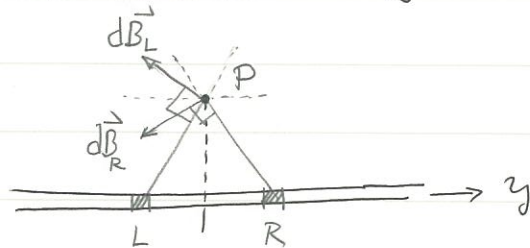
— 無限大 flat sheet (假設在 $x-y$ 平面上), 有均勻電流從 $-x$ 流向 $+x$,
 Current per unit width 為 J_s , 則產生的 $\vec{B} = ?$

When view from $+x$ to $-x$:

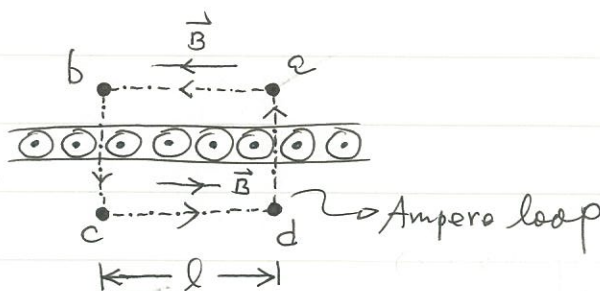


Current I is out of page.

考慮場點 P 如右圖, 由於
 current sheet 的對稱性, \therefore 在
 P 點的 $B = \text{constant}$, 方向: \leftarrow 。



同理在 sheet 下方的場點上, $B = \text{constant}$, 但方向: \rightarrow 。



$$\therefore \oint \vec{B} \cdot d\vec{r} = \left(\int_{a \rightarrow b} + \int_{b \rightarrow c} + \int_{c \rightarrow d} + \int_{d \rightarrow a} \right) \vec{B} \cdot d\vec{r}$$

$$= \left(\int_{a \rightarrow b} + \int_{c \rightarrow d} \right) B \cdot dr \quad \left(\because \vec{B} \perp d\vec{r} \text{ at } b \rightarrow c \text{ and } d \rightarrow a \right. \\ \left. \vec{B} \parallel d\vec{r} \text{ at } a \rightarrow b \text{ and } c \rightarrow d \right)$$

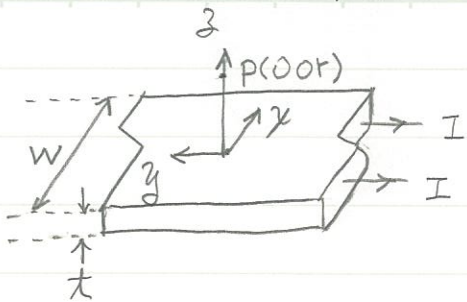
$$= B \cdot \left(\int_{a \rightarrow b} + \int_{c \rightarrow d} \right) dr$$

$$= B \cdot 2l = \mu_0 I_{\text{enclosed}} = \mu_0 \cdot J_s \cdot l$$

$$\therefore B = \frac{\mu_0 J_s}{2}$$



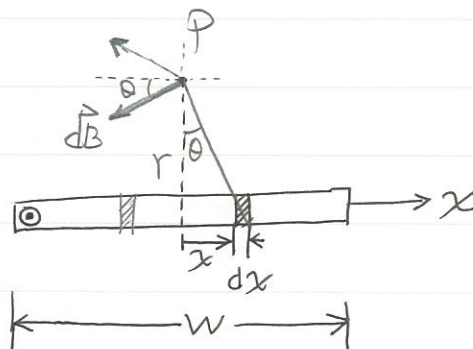
~ problem 73



厚度 t (z 方向), 寬度 w (x 方向), 但無限長 (y 方向) 的 conductor sheet, 有 I 均勻地分布在 $x-z$ 平面上, 由 $+y$ 流向 $-y$, 如圖所示。則 $P(0,0,r)$ 的 $\vec{B} = ?$

View from $-y$ to $+y$, I is out of page.

在 P 點的 $d\vec{B}$ 只有 $-\hat{i}$ 方向, 大小為 $dB \cos \theta = dB \cdot \frac{r}{\sqrt{r^2+x^2}}$



$$dB = \frac{\mu_0 \cdot dI}{2\pi \sqrt{r^2+x^2}} \quad \text{where } dI = \frac{dx}{w} \cdot I = J_s \cdot dx$$

$$\begin{aligned} \therefore B &= \int dB \cdot \cos \theta = \frac{\mu_0 I r}{2\pi w} \int_{-w/2}^{w/2} \frac{dx}{r^2+x^2} = \frac{\mu_0 I \cdot r}{\pi w} \int_0^{w/2} \frac{dx}{r^2+x^2} \\ &= \frac{\mu_0 I}{\pi w} \tan^{-1} \frac{w}{2r} \end{aligned}$$

(i) when $r \ll w$, i.e. $\frac{w}{2r} \gg 1$, $\tan^{-1} \frac{w}{2r} \approx \frac{\pi}{2}$

$$\therefore B = \frac{\mu_0 I}{2w} = \frac{\mu_0}{2} J_s = \text{Result of Example 26.8}$$

(ii) when $r \gg w$, i.e. $\frac{w}{2r} \ll 1$, $\tan^{-1} \frac{w}{2r} \approx \frac{w}{2r}$

$$\therefore B = \frac{\mu_0 I}{2\pi r} \sim \text{Result of Example 26.4} - \text{長直導線, 求 } \vec{B}.$$

